

## ТЕПЛОЕМКОСТЬ КЛАСТЕРНЫХ СПИНОВЫХ СТЕКОЛ

Н.Н.Ефимова, В.А.Перваков, В.И.Овчаренко, Н.Ю.Тютрюмова

К числу свойств, характерных для магнитных неупорядоченных состояний типа спинового стекла (СС), относится линейная зависимость магнитной части теплоемкости  $C_m(T)$  при температурах ниже температуры замерзания  $T_f$ , переходящая в максимум при  $T > T_f$  [1,2]. Круг вопросов, связанных с природой низкоэнергетических возбуждений в СС, непосредственно перекрываеться с такими проблемами, как структура и механизмы формирования неупорядоченных состояний, и является предметом многих экспериментальных и теоретических исследований, а также компьютерных расчетов [1–7]. В настоящей работе представлены результаты исследования температурной зависимости теплоемкости в интервале  $T = 4.2 \div 30$  К для нескольких соединений разбавленной диэлектрической системы  $\text{Li}_{0.5}\text{Fe}_{2.5-x}\text{Ga}_x\text{O}_4$ , где исходное соединение ( $x = 0$ ) является коллинеарным двухподрешеточным ферримагнетиком с  $T_c = 913$  К. Согласно полученным ранее данным [8,9], при диамагнитном разбавлении ( $\text{Ga} \rightarrow \text{Fe}$ ) в области концентраций ионов  $\text{Ga}^{3+}$   $0.9 \leq x \lesssim 1.5$  при низких температурах реализуется состояние ферримагнитного спинового стекла (ФСС), для  $1.5 \lesssim x < 2.0$  — кластерного СС, а при  $x \geq 2.0$  в широком диапазоне температур наблюдается суперпарамагнитное поведение. Отличительной чертой рассматриваемых объектов является короткодействующий характер конкурирующих обменных взаимодействий антиферромагнитного типа (меж- и внутриподрешеточных). При разбавлении величина  $J_{ij}$  несколько понижается и составляет  $|J_{ij}| = 15 \div 20$  К, внутриподрешеточные взаимодействия  $J_{ii}$  в несколько раз слабее [10]. При замещении  $\text{Ga} \rightarrow \text{Fe}$  соотношения между конкурирующими взаимодействиями изменяются за счет изменения числа обменных связей, причем  $z_{ij}J_{ij}/z_{ii}J_{ii}$  понижается.

Для измерения теплоемкости был использован вакуумный адиабатический калориметр с термометром сопротивлений ТСУ-2, изготовленным и проградуированным во ВНИИФТРИ. Создание и поддержание высокого вакуума в измерительной камере осуществлялось адсорбционным насосом [11]. Погрешность измерений  $\pm 1\%$ . Исследования проведены на тех же образцах, что и в [8,9].

Результаты исследования температурных зависимостей магнитных вкладов в теплоемкость  $C_m(T)$  неупорядоченных образцов ( $x = 1.35, 1.6, 1.9$ ) представлены на рис. 1. Для получения этих данных дополнительно были проведены исследования температурных зависимостей теплоемкости  $C(T)$  исходного соединения ( $x = 0$ ) и полностью замещенного — немагнитного галлата лития ( $x = 2.5$ ). В последнем случае  $C(T)$  определяется только фононным вкладом решетки  $C_\phi(T) \sim T^3$  (рис. 2). Поскольку массы ионов  $\text{Ga}^{3+}$  и  $\text{Fe}^{3+}$  близки, можно считать, что во всех случаях фононный вклад остается постоянным. Это подтверждается тем, что для неразбавленного образца с  $x = 0$  после вычитания из полной теплоемкости решеточного вклада получен магнитный вклад  $C_m(T) \sim T^{3/2}$  (вставка

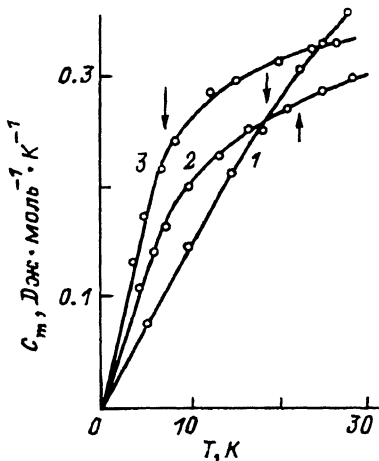


Рис. 1. Температурные зависимости магнитных вкладов в теплоемкость  $C_m(T)$  образцов системы  $\text{Li}_{0.5}\text{Fe}_{2.5-x}\text{Ga}_x\text{O}_4$ , находящихся в неупорядоченных магнитных состояниях типа СС.

$x = 1.35$  (1),  $1.6$  (2),  $1.9$  (3). Стрелками показаны температурные замерзания  $T_f$ .

к рис. 2), т.е. обусловленный спиновыми волнами с квадратичным законом дисперсии, что типично для коллинеарных ферримагнетиков [12,13].

Из рис. 1 видно, что в рассматриваемом интервале температур значение  $C_m$  тем выше, чем больше содержание немагнитных ионов  $\text{Ga}^{3+}$ . Для всех образцов при  $T \rightarrow 0$  К наблюдается линейная зависимость  $C_m(T)$ . Однако если для  $x = 1.35$  и  $1.9$  линейный участок простирается от  $4.2$  К почти до  $T = T_f$ , то для случая  $x = 1.6$  лишь до  $T \sim 0.2T_f$ , а при  $T > 0.2T_f$  величина  $C_m$  заметно ниже, чем следовало бы из линейного хода. Для обоих СС-образцов в интервале температур, где наблюдается отклонение от линейного хода, зависимость  $C_m(T) \sim T^{0.52}$ .

Как следует из рис. 1, ход зависимостей  $C_m(T)$  для образцов, находящихся в СС-состоянии ( $x = 1.6$  и  $1.9$ ), отличается от наблюданного для классических СС [1,2,6]: характерный максимум при  $T > T_f$  в рассматриваемом интервале температур здесь отсутствует, хотя для  $x = 1.9$  это составляет  $\sim 4T_f$ . Отметим, что подобное поведение  $C_m(T)$  наблюдалось и в некоторых других СС-системах, например  $\text{Eu}_x\text{Zn}_{1-x}\text{S}$  [7].

Полученные результаты можно объяснить в рамках следующей модели структуры состояния СС. Обменная связь между спинами по кристаллу резко неоднородна, имеются большие группы спинов с сильным обменом — переключающие кластеры, между которыми через сильно разупорядоченную матрицу осуществляется сравнительно слабая обменная связь. В соответствии с расчетами, выполненными для простейшей модели состояния кластерного СС, в такой системе должны наблюдаться линейный ход зависимости  $C_m(T)$  при  $T < T_f$  и максимум при температуре, соответствующей энергии внутрекластерного обмена [5], т.е. при  $T > T_f$ . Для рассматриваемого случая, как следует из исследования па-

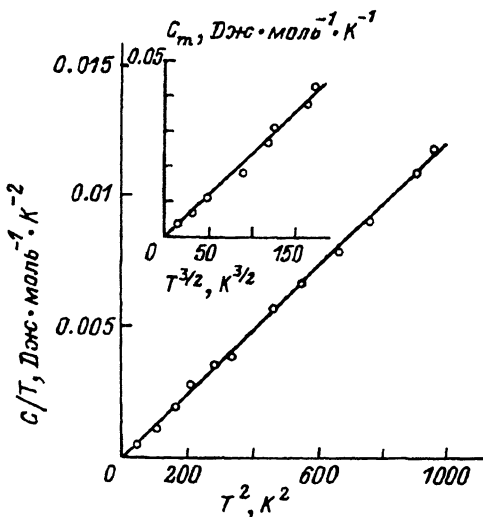


Рис. 2. Температурная зависимость теплоемкости немагнитного галлата лития  $\text{Li}_{0.5}\text{Ga}_{2.5}\text{O}_4$  в координатах  $C/T - T_2$ .

На вставке — температурная зависимость в координатах  $C_m - T^{3/2}$  магнитной части теплоемкости коллинеарного ферримагнетика  $\text{Li}_{0.5}\text{Fe}_{2.5}\text{O}_4$ .

рамагнитной восприимчивости [8], упорядочение в кластерах сохраняется до температур, значительно превышающих  $T_f$ , что обусловлено большой величиной внутрикластерного обменного взаимодействия. Это может быть одной из причин отсутствия максимумов на температурных зависимостях  $C_m(T)$  в используемом для измерений интервале температур.

Необходимо также учесть, что в неупорядоченных магнетиках могут существовать различные типы возбуждений и именно с кластерами связана большая часть степеней свободы магнитной подсистемы [14]. О том, что тепловое разупорядочение спинов в интервале  $4.2\text{K} \div T_f$  для рассматриваемых образцов еще сравнительно невелико, свидетельствует тот факт, что здесь реализуется лишь незначительная часть  $\Delta S$  полной магнитной энтропии. Полученные значения  $\Delta S/S_{max}$  составляют 0.14 ( $x = 1.35$ ), 0.22 ( $x = 1.6$ ), 0.18 ( $x = 1.9$ ). Для сравнения в гейзенберговском ферромагнетике в области  $0\text{K} \div T_c$   $\Delta S/S_{max} \sim 0.9$  [15], а для классических СС  $\sim 0.33$  ( $0\text{K} \div T_f$ ) [6]. Исходя из этого, наблюдаемые отличия в поведении классических и рассматриваемых в работе кластерных СС можно рассматривать как свидетельство отличия их спектров возбуждений, обусловленное структурой неупорядоченных состояний.

Прежде всего, если проанализировать черты сходства и различия в поведении исследованных образцов между собой и в сравнении с классическими СС, напрашивается вывод, что линейный вклад в  $C_m(T)$  обусловлен в основном спинами в матрице, участвующими в создании СС упорядочения. Действительно, число таких спинов велико в СС типа Cu – Mn и увеличивается в рассматриваемых образцах по мере роста  $x$  [8]. Этим можно объяснить концентрационные изменения в значениях  $C_m(T)$ , а также отчасти полученные величины  $\Delta S/S_{max}$ . Далее, принимая во внимание, что ход  $C_m(T)$  для обоих кластерных СС ( $x = 1.6, 1.9$ ) в области отклонения от линейности идентичен, можно предположить, что здесь идентичны и типы возбуждений в кластерах, а наблюдающиеся отличия связаны в первую очередь с различным числом таких возбуждений, поскольку в образце с  $x = 1.6$  кластерная структура выражена намного сильнее, чем в случае  $x = 1.9$  [8]. Наконец, хотя в образце с  $x = 1.35$  (ФСС) также имеют место неоднородность обмена и обусловленная этим неоднородность спиновой структуры, из-за сохранения дальнего ферримагнитного порядка спектр возбуждений здесь, очевидно, иной, чем в СС-состояниях, поэтому «кластерные вклады» в теплоемкость при низких температурах отсутствуют.

Таким образом, результаты исследования температурной зависимости магнитной части теплоемкости  $C_m(T)$  кластерных СС  $\text{Li}_{0.5}\text{Fe}_{2.5-x}\text{Ga}_x\text{O}_4$  ( $x = 1.35 \div 1.9$ ), представленные в работе, показывают, что независимо от особенностей структуры для неупорядоченных состояний типа СС при  $T \rightarrow 0\text{ K}$  преобладает линейный по температуре вклад в  $C_m(T)$ , вероятно, обусловленный возбуждениями, связанными с отдельными разупорядоченными спинами. Однако в целом (в широком интервале температур) вид зависимости  $C_m(T)$  в значительной степени определяется конкретной структурой состояния, что можно рассматривать как свидетельство влияния ее на характер возбуждений в магнитной подсистеме.

Работа выполнена в рамках проекта 2/199 по фундаментальным исследованиям КНТП при КМ Украины.

## Список литературы

- [1] Fischer K.H. // Phys. Stat. Solidi (b). 1983. V. 116. N 1. P. 357-413; 1985. V. 130. N 1. P. 13-71.
- [2] Huang C.Y. // J. Magn. Magn. Mat. 1985. V. 51. N 1-3. P. 1-74.
- [3] Halperin B.I., Saslow W.M. // Phys. Rev. B. 1977. V. 16. N 5. P. 2154-2162.
- [4] Krev U. // Z. Phys. B. 1980. V. 38. P. 243-251; J. Physique Lett. 1985. V. 46. P. 845-850.
- [5] Souboulis C.M., Levin K. // Phys. Rev. B. 1978. V. 18. P. 1439-1445.
- [6] Wenger L.E., Keesom P.H. // Phys. Rev. B. 1976. V. 13. N 9. P. 4053-4059.
- [7] Westerholt K., Endrihat H., Dahlbeck R., Bach H. // Phys. Rev. B. 1985. V. 33. N 1. P. 567-577.
- [8] Ефимова Н.Н., Попков Ю.А., Ткаченко Н.В. // ЖЭТФ. 1990. Т. 97. № 4. С. 1208-1217.
- [9] Ефимова Н.Н., Попков Ю.А., Ткаченко Н.В. // ФНТ. 1990. Т. 16. № 12. С. 1565-1575.
- [10] Ефимова Н.Н., Мамалуй Ю.А. // УФЖ. 1975. Т. 20. № 7. С. 1201-1203.
- [11] Зайцев Г.А., Овчаренко В.И., Хоткевич В.И. // ПТЭ. 1967. Т. 1. С. 212-215.
- [12] Kaplan T.A. // Phys. Rev. Second Ser. 1958. V. 109. N 3. P. 782-787.
- [13] Изюмов Ю.А., Озеров Р.П. Магнитная нейтронография. М.: Наука, 1966. 532 с.
- [14] Коренблит И.Я., Шендер Е.Ф. // УФН. 1978. Т. 126. № 2. С. 233-267.
- [15] Bowers R.G., Woolf M.E. // Phys. Rev. 1969. V. 177. N 2. P. 917-932.

Поступило в редакцию  
11 мая 1993 г.

УДК 778.38

© Физика твердого тела, том 35, № 10, 1993  
Solid State Physics, vol. 35, N 10, 1993

## РЕЗОНАНСНОЕ УВЕЛИЧЕНИЕ НЕСТАЦИОНАРНОЙ ДИФРАКЦИОННОЙ ЭФФЕКТИВНОСТИ ОБЪЕМНЫХ ФАЗОВЫХ ГОЛОГРАММ В ФОТОРЕФРАКТИВНЫХ КРИСТАЛЛАХ В РЕЖИМЕ «БЕГУЩЕЙ» РЕШЕТКИ

Э.М.Шахвердиев, Э.А.Садыхов

В настоящее время можно считать почти общепринятым тот факт, что запись объемных голограмм в фоторефрактивных кристаллах ( $\text{Bi}_{12}\text{SiO}_{20}$ ,  $\text{Bi}_{12}\text{GeO}_{20}$ ,  $\text{Bi}_{12}\text{TiO}_{20}$ ,  $\text{LiNbO}_3$ ,  $\text{BaTiO}_3$  и т.п.) основан на механизме разделения пространственного заряда при диффузии, дрейфе фотоэлектронов из освещенных интерферирующими лучами света областей кристалла и захвате носителей относительно глубоколежащими уровнями в запрещенной зоне. Модуляции показателя преломления определяется полем неоднородно-распределенного пространственного заряда посредством линейного электрооптического эффекта [1].

В последнее время как теоретически, так и экспериментально интенсивно исследуются различные способы резкого повышения дифракционной эффективности голографических решеток, записываемых в фоторефрактивных кристаллах. Такой обширный интерес вызван прежде всего перспективой (и эти надежды во многом оправдываются уже сейчас) применения голографических сред для усиления когерентных световых пучков.

Как показывают экспериментальные и теоретические результаты последних лет (см., например, [2,3]), один из способов повышения дифракционной эффективности записанной решетки заключается в получении бе-